

22  
A - 60



---

Научно-исследовательский институт ядерной физики

На правах рукописи

АКИМОВ ВАЛЕРИЙ ВАСИЛЬЕВИЧ

ИЗУЧЕНИЕ ЭНЕРГЕТИЧЕСКОГО СПЕКТРА ПРОТОНОВ ПЕРВИЧНЫХ  
КОСМИЧЕСКИХ ЛУЧЕЙ НА ИСЗ "ПРОТОН-З".

Номер специальности – 01.04.16 – физика атомного ядра  
и космических лучей.

Автореферат диссертации на соискание ученой степени  
кандидата физико-математических наук

---

ИЗДАТЕЛЬСТВО МОСКОВСКОГО УНИВЕРСИТЕТА · 1974

-539.152.1

А60

Работа выполнена в Научно-исследовательском институте ядерной физики МГУ и Институте космических исследований АН СССР.

Научный руководитель - доктор физико-математических наук, профессор Н.Л.Григоров.

Официальные оппоненты:

доктор физико-математических наук И.П.Иваненко (НИИЯФ МГУ)  
кандидат физико-математических наук Л.А.Разоренов (ФIAN)

Ведущее предприятие- Московский инженерно-физический институт.

Автореферат разоображен " " 1974г.

Защита состоится " " 1974г  
в час. на заседании секции №2 Ученого Совета  
ОФ физического факультета и НИИЯФ МГУ (Москва, Ленинские горы, 19 кор. МГУ, аудитория 2-15).

С диссертацией можно ознакомиться в библиотеке  
НИИЯФ МГУ.

УЧЕНЫЙ СЕКРЕТАРЬ НИИЯФ МГУ  
кандидат физико-математических наук

/Е.А.Романовский/

1

Работа посвящена исследование спектра протонов первичных космических лучей в интервале энергий  $10^{10} - 5 \cdot 10^{12}$  эв за пределами атмосфера на ИСЭ "Протон-3".

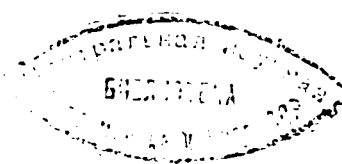
Интерес к энергетическим спектрам различных компонент первичного космического излучения обусловлен двумя причинами. Во-первых, подробные сведения об энергетических спектрах первичных космических лучей необходимы для создания теории происхождения и распространения космических лучей. Во-вторых, использование космических лучей в качестве источника частиц с энергиями, недоступными в настоящее время ускорителям, для исследования характеристик взаимодействия элементарных частиц и ядер с веществом требует подробных сведений об этом источнике.

Работа состоит из 4-х глав.

В первой главе дается краткий обзор литературных данных о спектре первичных космических лучей. Наиболее исследована область энергий  $\lesssim 20$  Гэв, в которой для определения энергии частиц используется дискриминирующее действие магнитного поля Земли. Совокупность данных, полученных при помощи ядерноэмиссионных отонок и черенковско-сцинтилляционных детекторов, поднятых к границе атмосферы на высотных аэростатах, позволяет считать, что в интервале энергий  $\sim 3 - 20$  Гэв интегральный спектр протонов может быть описан степенной функцией с показателем  $\gamma - I \approx 1,5$  и значением потока при  $E \gtrsim 16$  Гэв  $F_p (\gtrsim 16 \text{ Гэв}) \approx 100 \text{ м}^{-2} \text{ сек}^{-1} \text{ стер}^{-1}$ . При энергиях  $\lesssim 5$  Гэв спектр более пологий, и форма его меняется с изменением солнечной активности.

Объем экспериментальных данных о спектре первичных космических лучей в интервале энергий  $10^{10} + 10^{14}$  эв невелик.

1-2428



Результаты измерения потоков различных групп ядер в этой области энергий с помощью поднятых на высотных аэростатах стопок ядерных эмульсионных камер имеют малую статистическую обеспеченность и значительные неопределенности оценок энергии частиц. Косвенные данные о спектре первичных космических лучей при этих энергиях, полученные по результатам измерения спектров ядерно-активных частиц,  $\gamma$  - квантов и  $M$  - мезонов в атмосфере, существенно зависят от принимаемых в расчетах характеристик взаимодействия протонов и ядер с ядрами воздуха. Разброс значений показателя интегрального спектра, полученных во всех этих экспериментах, очень велик: от  $\sim 1,4$  до  $\sim 1,9$ .

В последние годы были проведены несколько экспериментов по измерению спектров ядер космических лучей в области высоких энергий с помощью поднятых к гранище атмосферы на аэростатах магнитных спектрометров со сверхпроводящими магнитами [1,2] и ионизационных калориметров [3,4]. По данным работы [1] дифференциальный спектр протонов в области магнитных жесткостей 5-100 Гэв может быть описан степенной функцией с показателем  $\gamma = 2,63 \pm 0,08$ . В работах [3,4] измерен спектр протонов в области энергий 30-1000 Гэв. Авторы аппроксимируют полученные спектры степеннойми функциями с показателем  $\gamma = 2,75$ .

Первые измерения спектра протонов высоких энергий за пределами атмосфера с помощью установки, содержащей ионизационный калориметр в качестве детектора энергии, были осуществлены в 1965-1966 г.г. на космических станциях "Протон-1,2 и 3". Применявшиеся в этих экспериментах спектрометр энергий и зарядов СЭЗ-14 был дополнен на ИСЗ "Протон-3" детектором направления, содержащим направление черенковские счетчики.

Результаты измерения спектра протонов в интервале энергий  $10^{10}$ - $10^{13}$  эв прибором СЭЗ-14 без детектора направления

наиболее полно изложены в работе [5], согласно которой в области энергий  $2 \cdot 10^{10}$ - $2 \cdot 10^{12}$  эв интегральный спектр протонов имеет показатель  $\sim 1,6$ , а при энергиях  $> 2 \cdot 10^{12}$  эв наблюдается резкое увеличение показателя спектра до значения  $\sim 2,5$ . Проведенный в работе [6] анализ ряда методических эффектов, влияющих на форму измеренного спектра протонов, привел авторов к выводу, что ни один из этих эффектов не способен вызвать столь резкое изменение показателя спектра. Дополнение прибора СЭЗ-14 детектором направления ликвидировало или уменьшило влияние некоторых методических эффектов, однако одновременно произошло уменьшение почти на порядок геометрического фактора прибора. Изложение результатов измерения спектра протонов прибором СЭЗ-14 с детектором направления является целью настоящей работы.

Во второй главе излагается методика эксперимента.

Прибор СЭЗ-14 с детекторами направления схематически показан на рис. I. Он состоит из двух идентичных половин. Каждая половина содержит следующие элементы:

- детектор заряда - двухслойный пропорциональный счетчик;
- детектор взаимодействия - сцинтилляционный счетчик, покрытый тонкой пластиной свинца;
- детектор энергии - ионизационный калориметр, состоящий из двадцати слоев железного поглотителя и десяти пластических сцинтилляторов (общая толщина поглотителя составляет 2,7 пробега до ядерного взаимодействия);
- нижний сцинтилляционный счетчик, служащий для ограничения угла зрения прибора;
- шкалы (фильтры), содержащие 32-35 г/см<sup>2</sup> углерода и полистилен, периодически устанавливаемые между детекторами

заряда и взаимодействия (наличие фильтров связано с решаемой задачей измерения сечений неупругого взаимодействия протонов с ядрами углерода и водорода);

- детектор направления-телеоскопическое устройство из двух сцинтилляционных и направленного черенковского счетчиков.

Для выполнения программы измерения спектра протонов формируются следующие элементарные сигналы:

$Z_1$  - амплитуды импульсов от обоих слоев пропорционального счетчика соответствуют регистрации одной однозарядной релятивистской частицы;

$N_1$  - амплитуда импульса от детектора взаимодействия соответствует регистрации одной однозарядной релятивистской частицы;

$N_2$  - амплитуда импульса от детектора взаимодействия соответствует регистрации двух и более однозарядных релятивистских частиц;

$E_l$  ( $l = I+9$ ) - амплитуда импульса от детектора энергии превышает  $I$ -ий порог (девять порогов детектора энергии размещены приблизительно равномерно в логарифмическом масштабе в интервале энергий от  $\sim 2 \cdot 10^{10}$  эв до  $\sim 10^{14}$  эв);

$C$  - амплитуда импульса от нижнего сцинтилляционного счетчика превышает  $\sim 0,3$  вероятного значения амплитуды от одной однозарядной релятивистской частицы;

$DH$  - амплитуды импульсов от двух сцинтилляционных и черенковского счетчиков детектора взаимодействия превышают  $\sim 0,3$  вероятных значений амплитуд от одной однозарядной релятивистской частицы, входящей в прибор со стороны детектора направления.

Из перечисленных элементарных сигналов формируются два вида событий протонной программы измерений:  $Z_1 N_1 DH E_{ci}$

(совпадение сигналов  $Z_1, N_1, DH, E_{ci}$  и  $Z_1 N_2 DH E_{ci}$ )

(совпадение сигналов  $Z_1, N_2, DH, E_{ci}$ ). Оба вида событий протонной программы измерений регистрировались только на первой половине прибора СЭЗ-14, установленного на ИСЗ "Протон-3".

Геометрический фактор прибора СЭЗ-14 с детектором направления составляет, согласно расчетам,  $5646 \text{ см}^2 \text{ стер.}$

Подробное описание прибора СЭЗ-14 и системы формирования регистрируемых событий содержится в работе [7].

Обработка полученной информации начиналась с дешифровки телеметрической информации с целью перехода от специфического представления данных, необходимого для передачи по телеметрии, к числу событий за заданный промежуток времени. Затем определялись средние темпы счета интересующих нас событий за периоды времени, характеризуемые определенными наборами условий измерений (наличием или отсутствием фильтра, ориентацией прибора в пространстве, загрузками детекторов и так далее). Величины средних темпов счета различных событий и их зависимости от времени и от условий измерений служили исходным материалом для анализа функционирования аппарата и получения окончательных результатов.

Подробное описание методики обработки научной информации ИСЗ "Протон" содержится в работе [8].

В третьей главе рассмотрены результаты измерений спектра протонов первичных космических лучей прибором СЭЗ-14 с детектором направления на ИСЗ "Протон-3".

В результате исследования зависимости от времени темпов счета событий протонной программы измерений был выбран рабо-

ции и интервал времени, равный  $\sim 45$  суткам, на котором наблюдалось стабильное функционирование аппаратуры.

Для определения направленности прибора были исследованы зависимости темпов счета событий  $Z_1 N_1 DHE_{cl}$  и  $Z_1 N_2 DHE_{cl}$  от угла между продольной осью прибора и вертикалью к поверхности Земли. Для оценки ориентации ИСЗ "Протон-3" была использована зависимость от времени темпа счета событий  $Z_1 N_1 DHE_{cl}$  на I-ой половине СЭЗ-14. Интервалы времени, на которых темп счета этих событий обращался в нуль или был близок к нулю, интерпретировались как соответствующие ориентации прибора детектором направления в сторону Земли (тесный угол прибора зренен Землей) и были отнесены к разряду "вниз". Интервалы времени, соответствующие большому темпу счета между двумя последовательными положениями "вниз", были отнесены к разряду "вверх". Проведенный для некоторых из этих интервалов времени контроль положения продольной оси прибора относительно вертикали по данным магнитометра показал, что интервалы времени, отнесенные к разрядам "вверх" и "вниз", действительно, соответствуют преимущественной ориентации прибора в зенит и в надир.

Мерой направленности прибора служило отношение  $\frac{J_{\text{вверх}}}{J_{\text{вниз}}}$  темпов счета событий при ориентациях прибора "вверх" и "вниз". Полученные отношения  $\frac{J_{\text{вверх}}}{J_{\text{вниз}}}$  на первом энергетическом пороге ( $\sim 2 \cdot 10^{10}$  эв) составляли  $10 \pm 20$ , на втором ( $\sim 6 \cdot 10^{10}$  эв)  $- 5 \pm 15$  и на третьем ( $\sim 2 \cdot 10^{11}$  эв)  $- 3 \pm 7$ , что свидетельствует о хорошей направленности прибора. Надение отношения  $\frac{J_{\text{вверх}}}{J_{\text{вниз}}}$  с ростом энергии частиц объясняется возрастанием с энергией "присчета" протонов, идущих вне телесного угла прибора.

При максимальном "присчете" эффективный геометрический фактор прибора превышает расчетное значение в  $\sim 1,5$  раза. Такое увеличение геометрического фактора с ростом энергии может привести к уменьшению показателя измеренного спектра по сравнению с истинным на  $\Delta f \approx 0,1$ .

Анализ зависимостей темпов счета событий  $Z_1 N_1 DHE_{cl}$  и  $Z_1 N_2 DHE_{cl}$  от загрузки детекторов прибора низкоэнергетичными частицами показал, что просчеты этих событий при измерениях на высоких широтах не превышают  $\sim 15\%$ , что согласуется с оценкой возможной величины просчетов, учитывая величину первых времен электроники и потоков частиц на высоких широтах.

Полученные за все время измерений спектры событий  $Z_1 N_1 DHE_{cl}$  и  $Z_1 N_2 DHE_{cl}$  могут быть аппроксимированы степенными функциями с показателями  $\sim 1,9$  для  $Z_1 N_1 DHE_{cl}$  и  $\sim 1,65$  для  $Z_1 N_2 DHE_{cl}$ . Значительное различие показателей спектра объясняется ростом с энергией вероятности рассеяния частиц из развивающегося в калориметре электронно-ядерного лайна в детектор взаимодействия. Увеличение амплитуды лайна от детектора взаимодействия за счет дополнительной ионизации, созданной в сцинтилляторе такими рассеянными частицами, приводят к переходу событий из разряда  $Z_1 N_1 DHE_{cl}$  в разряд  $Z_1 N_2 DHE_{cl}$ . Оценка величины этого эффекта по отношению темпов счета событий  $Z_1 N_2 DHE_{cl}$  и  $Z_1 N_1 DHE_{cl}$  показывает, что при энергии  $E_1$  вероятность попадания рассеянных частиц в детектор взаимодействия близка к нулю, а при энергиях  $E_4 - E_3$  ( $\sim 6 \cdot 10^{11} - 2 \cdot 10^{12}$  эв) она достигает  $40-60\%$ . Чтобы исключить влияние этого эффекта на результаты измерений, для построения спектра пригонка была использована сумма темпов счета событий спектра пригонка

$$Z_1 N_1 DHE_{cL} + Z_2 N_2 DHE_{cL}$$

При сравнении результатов измерений суммы гейпов счета событий  $Z_1 N_1 DHE_{cL} + Z_2 N_2 DHE_{cL}$  с фильтрацией и без фильтров было обнаружено, что отношение темпа счета этой суммы без фильтра к темпу счета с фильтрами уменьшается с возрастанием энергии от значения  $\sim 1,0$  при  $E_1$  до значения  $\sim 0,7$  при  $E_5$ . Этот эффект объясняется рассеянием частиц из калориметра в детектор заряда, приводящим к выбыванию событий из разряда протонных из-за дополнительной ионизации в пропорциональном счетчике. В отсутствие фильтра рассеяние частицы беспрепятственно доходит до пропорционального счетчика, что приводит к укручению измеренного без фильтра спектра суммы событий  $Z_1 N_1 DHE_{cL} + Z_2 N_2 DHE_{cL}$ , поскольку вероятность попадания в пропорциональный счетчик рассеянных частиц возрастает с увеличением числа частиц в электронно-ядерном ливне, то есть с ростом энергии регистрируемой частицы. При измерениях с фильтрами рассеяние низкоэнергичные частицы поглощаются в расположенному между калориметром и пропорциональным счетчиком легком веществе, поэтому для построения спектра протонов были использованы суммы темпов счета событий  $Z_1 N_1 DHE_{cL} + Z_2 N_2 DHE_{cL}$ , определенные при измерениях с фильтрами. Полученный по этим данным после учета геометрического фактора прибора, среднего коэффициента затенения апортуры прибора Землей и эффективности регистрации протонов детекторами направления и заряда интегральный спектр протонов показан на рис. 2 совместно с вычисленной методом наименьших квадратов степенной аппроксимацией

$$F(>E) = (3,24 \pm 0,03) \cdot 10^{-4} \left( \frac{E}{10^{11}} \right)^{-1,64 \pm 0,01} \text{ см}^{-2} \text{ сек}^{-1} \text{ стер}^{-1}$$

(Е выражено в эв.). При вычислении аппроксимации не принималось во внимание значение потока, полученное на первом энергетическом пороге ( $E > 20$  Гэв). Это значение лежит несколько ниже приведенной аппроксимации, что может быть обусловлено двумя причинами: а) меньшей крутизной спектра протонов в интервале энергий  $20\text{--}60$  Гэв и б) низкой эффективностью образования сигнала "С" при регистрации протонов с энергией  $\sim 20$  Гэв. В приведенной аппроксимации указаны статистические ошибки параметров аппроксимирующей функции. Возможная систематическая ошибка в значении потока при  $E > 10^{11}$  эв, связанная с неопределенностью величин геометрического фактора и эффективности регистрации однозарядных частиц детекторами направления и заряда, составляет  $\pm 20\%$ . Кроме того, возможно занижение измеренного потока на  $\sim 10\%$  из-за просчетов в трактах формирования сигналов. Полученный показатель спектра может быть меньше истинного из-за возрастания с ростом энергии "присчета" протонов, идущих вне гелесного угла прибора, на  $\Delta f \approx 0,1$ . Неопределенность энергетической шкалы составляет  $\sim 1\%$  (методика привязки данных прибора СЭЗ-14 к энергии изложена в работе [9]).

В четвертой главе проводится обсуждение полученных на ИСЭ "Протон" данных о спектре протонов первичных космических лучей.

В области энергий  $6 \cdot 10^{10}\text{--}2 \cdot 10^{12}$  эв результаты измерения спектра протонов на ИСЭ "Протон-3" прибором СЭЗ-14 с детектором направления хорошо согласуются с данными выполненных после проведения экспериментов на ИСЭ "Протон" работ [1, 3, 4]. Экстраполяция приведенной выше аппроксимации спектра протонов в область геомагнитных энергий дает меньшее

значение потока при энергии  $16 \text{ ГэВ}$ , чем результаты измерений с помощью ядерных фотоэмиссий и черенковско-цинтилляционных детекторов у границы атмосферы. Однако это различие лежит в пределах неопределенности привязки данных ИСЗ "Протон" к энергии.

Сравнение результатов измерения спектра протонов прибором СЭЗ-14 с детектором направления и без детектора направления показывает, что в области энергий  $\sim 6 \cdot 10^{10} - 2 \cdot 10^{12} \text{ эв}$  эти результаты хорошо согласуются. Малая статистическая обеспеченность полученных в измерениях с детектором направления данных при энергиях  $> 2 \cdot 10^{12} \text{ эв}$  не позволяет решить вопрос о природе укручивания измеренного без детектора направления спектра протонов в этой области энергий.

Возможность увеличения показателя спектра протонов при энергиях  $10^{12} - 10^{13} \text{ эв}$  можно было бы исключить, обнаружив, что такое укручивание спектра противоречит каким-либо экспериментальным данным о космических лучах. С этой целью были рассмотрены экспериментальные данные о спектре всех частиц первичных космических лучей и о спектрах различных компонент космических лучей в атмосфере.

Анализ формы измеренного на ИСЗ "Протон-1,2 и 3" спектра всех частиц первичных космических лучей, проведенный авторами работы [10], показал, что в районе  $10^{12} \text{ эв}$  в спектре всех частиц наблюдается перегулярность, соответствующая резкому уменьшению потока на  $\sim 55\%$ , которая может быть связана с укручением спектра протонов в этой области энергий. Расчет спектра протонов на границе атмосферы по данным о потоках адронов, идущих без сопровождения на высотах гор, дает результаты, согласующиеся с аппроксимацией измеренного

прибором СЭЗ-14 без детектора направления спектра протонов в области энергий  $10^{12} - 10^{13} \text{ эв}$ , если полагать, что в этой области энергий пробег до ядерного взаимодействия протонов с ядрами воздуха не зависит от энергии. Экспериментальные данные о спектре вертикального потока  $\pi$ -мезонов на уровне моря также не находятся в противоречии с результатами расчетов, выполненных в предположении укручивания спектра протонов в районе  $10^{12} \text{ эв}$  и степенного характера спектра остальных ядер первичных космических лучей вплоть до  $10^{14} \text{ эв}$ . В пределах существующих неопределенностей характеристик ядерного взаимодействия протонов высоких энергий с ядрами воздуха, такому представлению о спектре первичных космических лучей не противоречат и данные о потоках  $\gamma$ -квантов и адронов на различных глубинах атмосферы.

ВЫВОДЫ

1. На ИСЭ "Протон" впервые непосредственно в потоке первичных космических лучей за пределами атмосферы были проведены измерения спектра протонов первичных космических лучей в интервале энергий  $2 \cdot 10^{10} + 10^{13}$  эв.

2. Измеренный на ИСЭ "Протон-3" прибором СЭЗ-14 с детектором направления интегральный спектр протонов первичных космических лучей может быть аппроксимирован в интервале энергий от  $6 \cdot 10^{10}$  до  $\sim 7 \cdot 10^{12}$  эв степенной функцией.

$$F(>E) = (3,24 \pm 0,03) \cdot 10^{-4} \left( \frac{E}{10^{11}} \right)^{-1,64 \pm 0,01} \text{ см}^{-2} \text{сек}^{-1} \text{стэр}^{-1}$$

, где

Е выражено в эв. при этом неопределенность энергетической шкалы составляет  $\sim 15\%$ , а возможные отклонения измеренных значений абсолютного потока при  $E > 10^{11}$  эв и показателя спектра от истинных, связанные с систематическими ошибками измерений, составляют

$$F_{ист}(>10^{11}) - F_{изм}(>10^{11}) \approx (+1,0) \cdot 10^{-4} \text{ см}^{-2} \text{сек}^{-1} \text{стэр}^{-1}$$

$$\gamma_{ист} - \gamma_{изм} \approx +0,1.$$

3. Полученные в измерениях на ИСЭ "Протон-3" прибором СЭЗ-14 с детектором направления данные о спектре протонов первичных космических лучей находятся в удовлетворительной согласии с результатами других работ и не противоречат полученному в измерениях на ИСЭ "Протон-1,2 и 3" прибором СЭЗ-14 без детектора направления укрупнению спектра протонов в области энергий  $10^{12}-10^{13}$  эв.

4. Рассмотренные в диссертации экспериментальные данные о спектре всех частиц первичных космических лучей и о спектрах

адронов,  $\gamma$  - квантов и  $M$  - мезонов в атмосфере не исключают возможности укрупнения спектра протонов первичных космических лучей в области энергий  $10^{12}-10^{13}$  эв. Вопрос о форме спектра протонов при энергиях, превышающих  $10^{12}$  эв, требует дополнительного экспериментального исследования.

Материалы, послужившие основой диссертации, опубликованы в работах [8, II-14].

## ЛИТЕРАТУРА

1. L.H. Smith, A. Baffington, G.P. Smoot et.al.,  
*Astrophys. Journ.*, 180, 987(1973).
2. R.E. Golden, J.H. Adams, W.R. Boykin et.al.,  
*Proc. Int. Conf. Cosmic Rays*, Hobart, 1, 203(1971).
3. K. Pinkau, U. Pollvogt, W.K.H. Schmidt, and R.W. Huggett,  
*Acta Physica Hungaricae*, 29, Suppl.3, 291(1970).
4. M.J. Rian, J.F. Ormes, and V.K. Balasubrahmanyam,  
*Phys. Rev. Letters*, 28, No.15, 985(1972).
5. Н.Л.Григоров, В.Е.Несторов, И.Д.Рапопорт, И.А.Савенко,  
Г.А.Скуридин, Ядерная физика, II, № 5, 1058(1970).
6. Н.Л.Григоров, В.Е.Несторов, И.Д.Рапопорт, и др.,  
"Космические исследования", 5, вып.3, 595(1967).
7. Н.Л.Григоров, Г.П.Кахидзе, В.Е.Несторов и др.,  
"Космические исследования", 5, вып.3, 585(1967).
8. В.В.Акимов, В.В.Болецкий, В.В.Голубков и др.,  
Сборник "Изучение космических лучей на АСЭ", Москва,  
Изд-во "Наука", стр.138(1973).
9. А.Ф.Титенков, диссертация, ИИФ МГУ, Москва, 1970г.
10. В.В.Акимов, Н.Л.Григоров, Н.А.Мамонтова и др.,  
Изв.АН СССР, сер.физ. 35, № 12, 2439(1971).
11. В.В.Акимов, Н.Л.Григоров, В.Е.Несторов, И.Д.Рапопорт,  
И.А.Савенко, Г.А.Скуридин и А.Ф.Титенков, "Геомагнетизм  
и аэрономия", II, № 3(1971).
12. V.V. Akimov, N.L. Grigorov, V.E. Nestorov, I.D. Rapoport,  
I.A. Savenko, G.A. Skuridin, A.F. Titenkov,  
*Acta Physica Hungaricae*, 29, Suppl.1, 517(1970).
13. В.В.Акимов, Н.Л.Григоров, В.Д.Козлов, "Известия АН СССР",  
сер.физ. 55, № 10 2040 (1971).
14. В.В.Акимов, В.Д.Козлов и В.Я.Мостопоров,  
"Ядерная физика", IV, вып.5, 1025(1973).

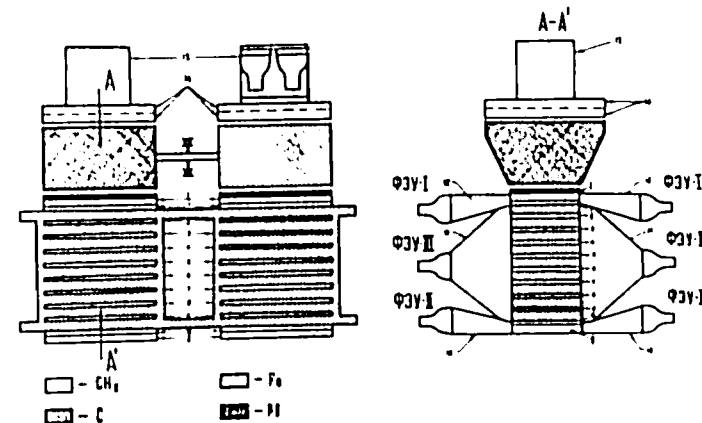


Рис.1. Схематическое изображение прибора СЭЗ-4.

1 - детектор взаимодействия; 11 - нижний спиральный ионизационный счетчик; 1-10 - спиральные яторы детекторов энергии; 11,12,13 - диффузоры; ФЭУ-I, ФЭУ-II, ФЭУ-III - фотоумножители; 14 - пропорциональный счетчик; 15 - детектор направления.

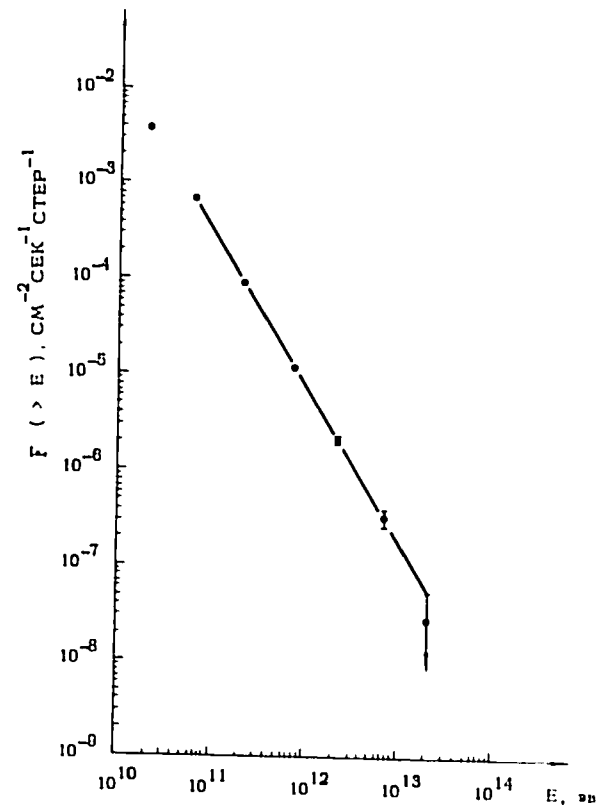


Рис. 2. Спектр протонов первичных космических  
лучей, полученный в измерениях на МЭ  
"Протон-3" прибором СЭЗ-14 с детектором  
неправления.

ПОДП. К ПЕЧАТИ 27/ХП-73 Г. Л-80308, ф. 00x00 / 10  
ФИЗ.ПЛ. 1.0. ЗАКАЗ 2426. ТИРАЖ 200 ЭКЗ.

ОТПЕЧАТАНО НА РОТАПРИНТАХ В ТИП. ИЗД. МГУ  
МОСКВА, ЛЕНИГОРЬ

